УДК 669.187.58 А.В. Исаков

## МАТЕМАТИЧЕСКАЯ МОДЕЛЬ, ОПИСЫВАЮЩАЯ ИЗМЕНЕНИЕ ТЕМПЕРАТУРЫ ИЗДЕЛИЙ АВИАКОСМИЧЕСКОЙ ТЕХНИКИ В ПРОЦЕССЕ ФОРМИРОВАНИЯ ПОКРЫТИЯ НА ИХ ПОВЕРХНОСТИ

Магнетронные распылительные системы широко применяются при производстве авиакосмической техники для нанесения покрытий на поверхности изделий с целью придания им требуемых физических свойств [1].

Одним из основных достоинств магнетронного распыления является возможность изменять и контролировать в широком диапазоне параметры технологического процесса: плотность ионного тока на подложку и энергию бомбардирующих ионов.

Увеличение скорости осаждения возможно за счет увеличения плотности и энергии ионного потока на катод-мишень, что в свою очередь приводит к росту температуры на его поверхности.

Повышение температуры подложки может активировать фазовые переходы в структуре материала подложки и значительно сократить или увеличить ее эксплуатационный ресурс (температура отпуска аустенитной стали порядка 400 K) [2].

Целью данной статьи является разработка математической модели изменения температуры изделия (подложки) и катода-мишени в процессе нанесения покрытия в магнетронных распылительных системах в установившемся режиме. Численное решение математической модели позволит выбирать и назначать режимы нанесения покрытия, что в свою очередь позволит формировать покрытие высокого качества со стабильными значениями адгезионной прочности без изменения свойств подложки.

Как правило, в магнетронных распылительных системах используют аномальный тлеющий разряд, горящий в скрещенных электрическом и магнитном полях при давлениях P = 0,1...1,5 Па и величинах магнитной индукции B = 0,01...0,05 Тл. Таким образом, все поверхности подвержены влиянию излучения из плазмы  $(q_{ext})$ , теплового потока приносимого на поверхности электродов частицами (нейтральными частицами, ионами и электронами  $(q_{cp})$ ), теплового потока от других поверхностей разрядного промежутка  $(q_m)$ . А отвод тепла со всех поверхностей разрядного промежутка происходит за счет излучения (q) и теплопроводности  $(q_h)$ .

Тепловой поток, приносимый нейтральными частицами, на поверх-

ности электродов незначительный по сравнению с потоком энергии от ионов. В ряде работ [3, 4] показано, что он не превышает 1 % от энергии падающих ионов.

Теплоотвод с катода-мишени осуществляется за счет излучения, термоэмиссии электронов с поверхности, распыления материала катода-мишени ( $q_p$ ) и ион-электронной эмиссии с поверхности катода-мишени в результате ионной бомбардировки.

Как правило в магнетронных распылительных системах температура катода-мишени не достигает  $0,7 \cdot T_{nn}$ , где  $T_{nn}$  – температуры плавления материала [5]. Поэтому процесс термоэмиссии не оказывает вклада в сброс тепла с катода-мишени.

Процесс ион-электронной эмиссии не учитывается в последующем расчете. Это связано с тем, что энергия вторичных электронов не превышает 5 эВ, а коэффициент вторичной ион-электронной эмиссии для технологического газа (как правило, применяется аргон) не превышает 0,2 [6].

Дополнительное количество тепла выделяется на подложке за счет адсорбции и химических реакций на поверхности подложки. Энергией адсорбции и химических реакций на поверхности подложки можно пренебречь с учетом того, что технологический процесс выполняют при низких давлениях в камере с использованием инертного технологического газа высокой степени чистоты.

На рисунке 1 представлен баланс тепловых потоков на катодмишень (а) и подложку (б) исходя из вышеизложенного анализа.

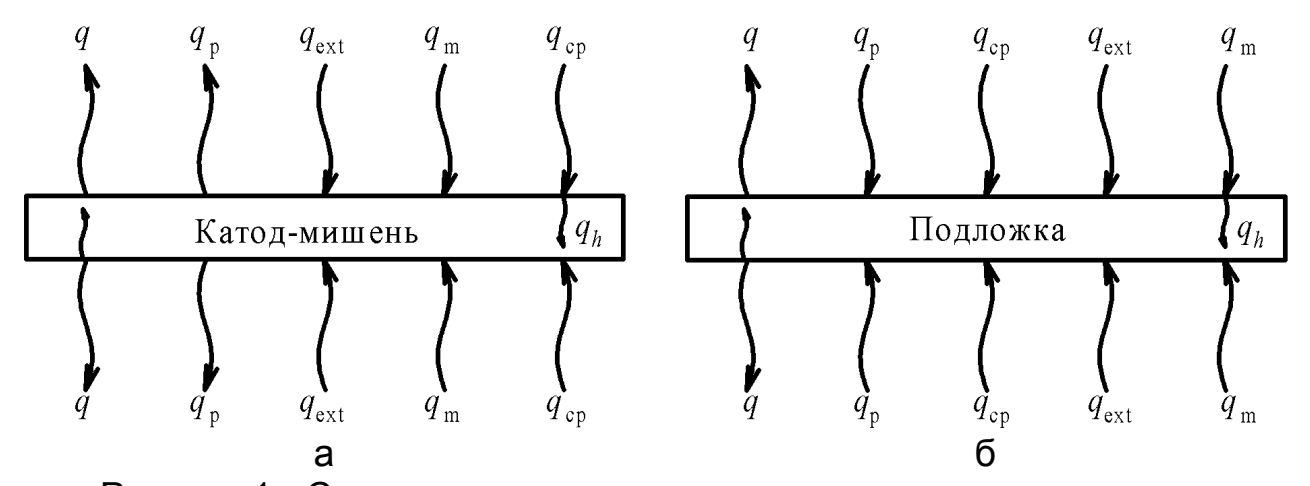


Рисунок 1 - Схема распределения тепловых потоков по катодумишени (а) и по подложке (б)

Рассмотрим уравнение теплопроводности [7]:

$$\rho C_{\rho} \frac{\partial T}{\partial t} + \rho C_{\rho} u \cdot \nabla T = \nabla \cdot (k \nabla T) + Q,$$

где  $\rho$  – плотность,  $C_p$  – удельная теплоемкость при постоянном давлении, T – абсолютная температура, u – вектор скорости, k – коэффициент теплопроводности, Q – объемный тепловой поток из плазмы.

Для определения объемного теплового потока за счет излучения из плазмы использовалась жидкостная модель плазмы, приведенная в работе [8]. Излучение из плазмы связано со следующими элементарными процессами (реакциями), происходящими в ней: возбуждение, прямая и ступенчатая ионизация, сброс возбуждения, ионизация Пеннинга, метастабильное гашение. Тепловой поток определялся как сумма тепловых потоков каждой химической реакции в плазме (см. ур-ние 1) [9].

$$Q = \sum_{j=1}^{7} r_j \left( F_c \cdot \Delta \omega_j - H_j \right), \tag{1}$$

где  $F_c$  – постоянная Фарадея,  $H_j$  – энтальпия j–ой реакции.

Скорость ј–ой реакции  $r_j$ , энтальпия ј–ой реакции  $H_j$ , потеря энергии во время ј–ой реакции  $\Delta \omega_j$ , определялись с помощью жидкостной модели.

С учетом того, что потенциал ионизации аргона существенно выше, чем работа выхода у материалов, применяемых для изготовления подложки (первый потенциал ионизации для атома аргона 15,76 эВ, а для атома титана — 3,95 эВ), потенциальную энергию ионов можно не учитывать [10].

Кинетическая энергия может достигать значений порядка  $eU_{TK\Pi}$ , где e – элементарный заряд,  $U_{TK\Pi}$  – величина падения потенциала в темном катодном пространстве [11].

Механизм передачи кинетической энергии определяется процессами столкновения. Часть кинетической энергии  $E_i^{tr}$  передающаяся на электрод, зависит от соотношения масс сталкивающихся частиц  $(M_1, M_2)$ , угла падения  $(\theta)$  и коэффициента передачи энергии  $(k_c)$  и определяется по формуле [12]:

$$E_i^{tr} = 4k_c \frac{M_1 M_2}{(M_1 + M_2)^2} E_{i,kin} (\sin \theta / 2)^2.$$

Коэффициент передачи кинетической энергии  $k_c$  равен единице для парных упругих столкновений, а для столкновения каскадов ионов с поверхностью твердого тела может быть принят равным 0,7 [13].

Угол падения иона аргона на поверхность катода-мишени принимается из условия, что ион летит по нормали к поверхности катода-

мишени вдоль силовых линий электрического поля [14]. Распределение силовых линий электрического поля получено с помощью жидкостной модели плазмы, и приведено в работе [8]

На основании вышеизложенного, тепловой поток за счет ионной и электронной бомбардировки электродов определялся по формуле (2).

$$q_{cp} = \frac{E_i^{tr} \cdot j_i}{e} + \frac{E_e \cdot j_e}{e}, \qquad (2)$$

где  $E_i$  – энергия ионов,  $E_e$  – энергия электронов.

Плотность ионного тока на катод-мишень определялась с помощью жидкостной модели плазмы. В результате решения системы уравнений жидкостной модели получено, что возле плоскости симметрии есть резкий максимум по плотности ионного тока, который связан с особенностями программы расчета [15].

Поэтому для избежания значительных ошибок в тепловой модели, определения температуры электродов в аномальном тлеющем разряде, начальный участок распределения плотности тока по длине катода мишени аппроксимирован к результату полученному экспериментальным путем.

Тепловой поток, который уносится с единицы поверхности катодамишени распыленными частицами, определялся по формуле (3).

$$q_{p} = J_{p} \cdot E_{p}, \tag{3}$$

где  $J_p$  – плотность потока распыленных частиц,  $E_p$  – энергия распыленных частиц.

Плотность потока распыленных частиц с единицы поверхности определялась в соответствии с работой [11].

Энергия распыленных частиц в магнетронных распылительных системах обычно изменяется в пределах 20...100 эВ [16].

Тепловой поток, который приносится на единицу поверхности электродов распыленными частицами определялся по формуле:

$$G_{ip} = J_{ip} \cdot E_p$$
,

где  $J_{ip}$  – плотность потока распыленных атомов приходящих на электроды.

Плотность потока распыленных атомов на единицу поверхности электродов с источника  $dS_p$  поверхности распыления  $S_p$  определялась по формуле [17]:

$$J_{ip}=\int\limits_{\mathcal{S}_p}rac{J_p}{\pi}rac{d^2}{\left(r^2+d^2
ight)^2}d\mathcal{S}_p,$$

где d-длина нормали, проведённой от поверхности катода-мишени к электроду; r- расстояние от источника  $dS_p$  к точке на электроде, в которой необходимо определить поток частиц материала покрытия.

Ток заряженных частиц на подложку, во время нанесения покрытия не превышал нескольких миллиампер, в то время как на катод ток достигает величин порядка одного ампера. Таким образом нагрев подложки за счет бомбардировки заряженными частицами можно не учитывать.

Таким образом граничные условия для электродов примут вид:

$$-n \cdot (-k\nabla T) = \varepsilon (q - \sigma T^{4}),$$

$$q = q_{m}(J) + F_{amb}\sigma T_{amb}^{4} + q_{ext} + q_{cp} + k_{1}q_{p},$$

$$(1-\varepsilon)q = J - \varepsilon \sigma T^{4},$$

где n- внешняя нормаль, q- тепловой поток, излучаемый с единицы поверхности,  $\epsilon-$  коэффициент излучения,  $\sigma-$  постоянная Стефана-Больцмана, J- собственный поток теплового излучения,  $F_{amb}-$  геометрический фактор передачи энергии от области излучения к области поглощения на поверхности электрода,  $T_{amb}-$  температура окружающей среды,  $k_1=-1-$  для электродов под нулевым потенциалом,  $k_1=1-$  для электродов под высоким положительным потенциалом.

Так как предложенная математическая модель осесимметричная, тогда условие неразрывности для плоскости и оси симметрии имеет вид:

$$n\cdot(-k\nabla T)=0$$
.

## Выводы

Проведена постановка тепловой задачи на основании процессов, и их вклада в изменение температуры подложки и катода-мишени, в аномальном тлеющем разряде при давлениях P = 0,1...1,5 Па и величинах магнитной индукции B = 0,01...0,05 Тл.

На основании ранее разработанной жидкостной модели плазмы предложена математическая модель, позволяющая проводить численный эксперимент по определению температуры подложки, катодамишени и в дальнейшей работе назначать режимы нанесения покрытий.

## Список использованных источников

- 1. Tribological performance of hybrid filtered arc-magnetron coatings Part I: Coating deposition process and basic coating properties characterization [Text] / V. Gorokhovsky and [others] // Surface & Coatings Technology. 2006. V. 201. P. 3732 3747.
- 2. Инструментальные стали [Текст] : справочник / Л. А. Поздняк [и др.]. М. : Металлургия, 1977. 168 с.
- 3. Rossnagel, S. M. Film modification by low energy ion bombardment during deposition [Text] / S. M. Rossnagel, J. J. Cuomo / Thin Solid Films. 1989. V. 171, No. 1. p. 143 156.
- 4. Muller, K. H. Modelling Ion-Assisted Deposition of CeO<sub>2</sub> Films [Text] / K. H. Muller // Appl. Phys. A. 1986. V. 40. p. 209-213.
- 5. Magnetron sputtering technique used for coatings deposition; technologies and applications [Text] / D. G. Constantin and others // 7th International Conference on Materials Science and Engineering BRAMAT 2011, Braşov, 24 26 February 2011. 2011. P. 29 33.
- 6. Variation du coefficient d'emission electronique secondaire de quelques metaux avec l'enegie des ions incidents [Text] / M. P. Cousinie and others // Comptes Rendus des Seances de L'academie des Sciences. 1959. V. 249. P. 387 389.
- 7. Krotz, H. Experimental investigation and simulation of heat flux into metallic surfaces due to single discharges in micro-electrochemical arc machining (micro-ECAM) [Text] / H. Krotz, R. Roth, K. Wegener // Int. J. Adv. Manuf. Technol. 2013. V. 68, No. 5-8. P. 1267 1275.
- 8. Computer simulation of abnormal glow discharge processes in crossed electric and magnetic fields [Text] / A. V. Isakov, V. P. Kolesnik, A. M. Okhrimovskyy and others // Probl. of atom. sci. and tech. 2014. V. 94, N 6. P. 171 174.
- 9. Baki, M. C. Review of Modeling of Liquid Precursor Droplets and Particles Injected into Plasmas and High-Velocity Oxy-Fuel (HVOF) Flame Jets for Thermal Spray Deposition Applications [Text] / M. C. Baki, S. Basu // J. Thermal Spray Tech. 2009. V. 18. P. 769 793.
- 10. Грановский, В. Л. Электрический ток в газе. Том 1. Общие вопросы электродинамики газов [Текст] / В. Л. Грановский. М.: Госю издво технико-теор. лит., 1952. 433 с.
- 11. Данилин, Б. С. Магнетронные распылительные системы [Текст] / Б. С. Данилин, В. К. Сырчин. М. : Радио и связь, 1982. 72 с.
- 12. Беграмбеков, Л. Б. Процессы в твердом теле под действием ионного и плазменного облучения [Text] : Учебное пособие / Л.Б. Беграмбеков. М. : МИФИ, 2008. 168 с.
- 13. Bang, K. The effect of substrate surface temperature on the morphology and quality of diamond films produced by the oxyacetylene combustion method [Text] / K. Bang, A. J. Ghajar, R. Komanduri // Thin Solid Films. —

- 1994. V. 238, No. 2. p. 172 183.
- 14. Райзер, Ю. П. Физика газового разряда [Текст] / Ю. П. Райзер. 3-е изд. перераб. и доп. Долгопрудный : Издательский дом «Интеллект», 2009. 736 с.
- 15. Определение параметров плазмы в аномальном тлеющем разряде в скрещенных электрическом и магнитном полях / А. В. Исаков, В. П. Колесник, А. М. Охримовский и др. [Текст] // Журнал «Авиационнокосмическая техника и технология». 2015. с. 30 35.
- 16. Данилин, Б. С. Применение низкотемпературной плазмы для нанесения тонких пленок [Текст] / Б. С. Данилин. М. : Энергоатомиздат, 1989. 328 с.
- 17. Contino, A. Modelling of continuous steel coating by self-induced ion plating (SIIP) [Text] / A. Contino, V. Feldheim, P. Lybaert. Paris, 2005 Comsol Multiphysics User's Conference p. 1-5.